

Рис. Д1. Полиця для блока LRU

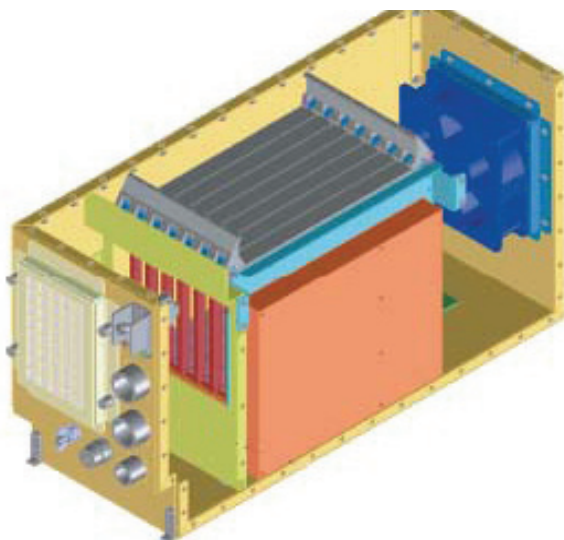


Рис. Д2. Внутрішня будова LRU

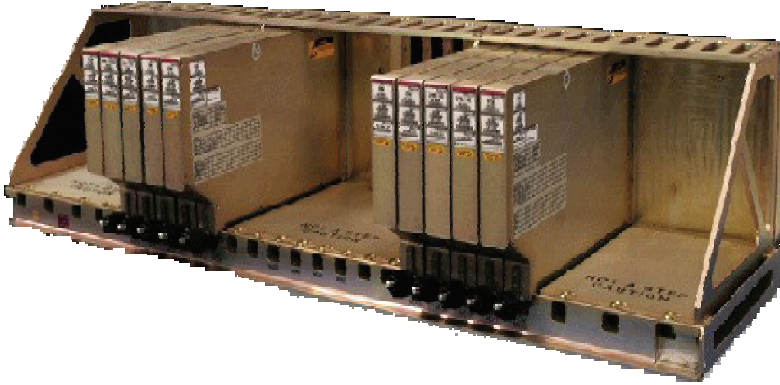


Рис. Д3. Полиця для LRM



Рис. Д4. Аеронавігаційний вогонь «Ultra Aurora» [41]



Рис. Д5. Розміщення датчиків тиску на борту літака В-737



Рис. Д6. Датчик кутів ковзання та атаки



Рис. Д7. Температурний датчик

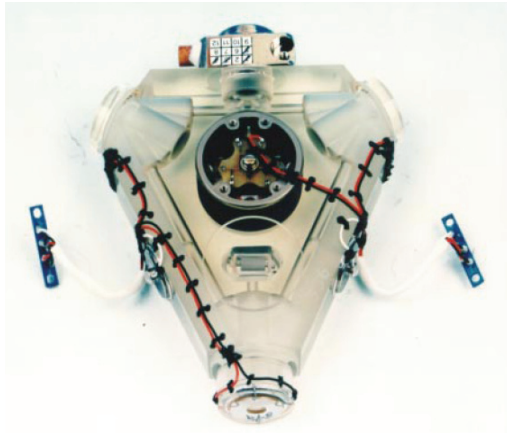


Рис. Д8. Лазерний гіроскоп



Рис. Д9. Оптиволоконний гіроскоп Honeywell (GG1320)

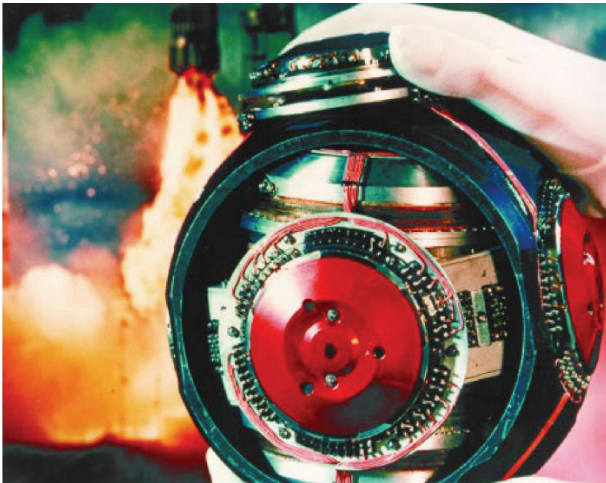


Рис. Д10. Платформний модуль інерціальних датчиків

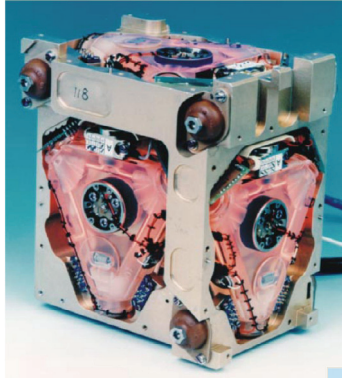


Рис. Д11. Безплатформна ІНС (Marconi FIN3110)



Рис. Д12. Магнітний резервний компас (S.I.R.S.)



Рис. Д13. Датчик X MAG
(Rockwell Collins)



Рис. Д14. Датчик HMR2300
(Honeywell)



Рис. Д15. Курсовертикаль Honeywell (АН-2100) [75]



Рис. Д16. Автоматичний радіокомпас ADF-462 (RocwellColins)



Рис. Д17. Радіомаяк VOR



Рис. Д18. Обладнання DME-42 (Rocswell Colins)



Рис. Д19. Розміщення антен RAL на B737



Рис. Д20. Радіовисотомір RA-4000

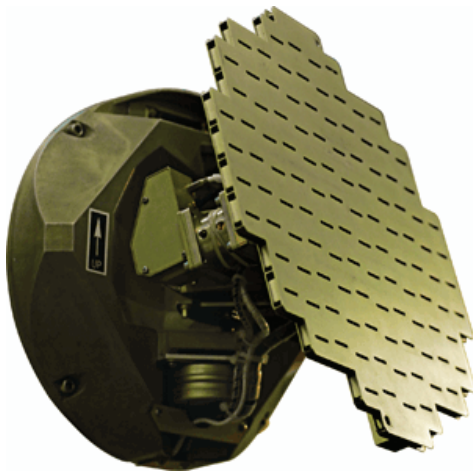


Рис. Д21. Антенна система метеонавігаційного радіолокатора

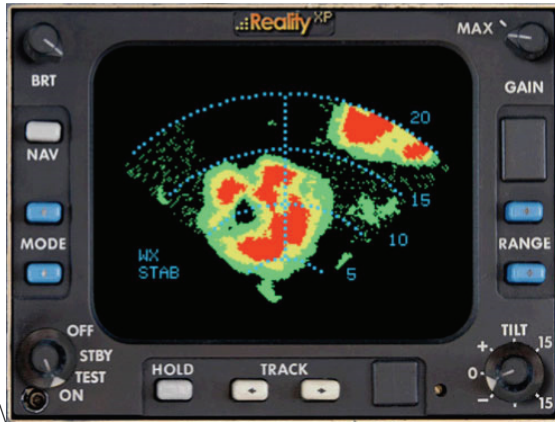


Рис. Д22. Зображення на індикаторі радіолокатора



Рис. Д23. Відображення інформації на дисплеї VSI/TDI [9]



Рис. Д24. Відображення даних від TCAS на дисплеї метеорадіолокатора

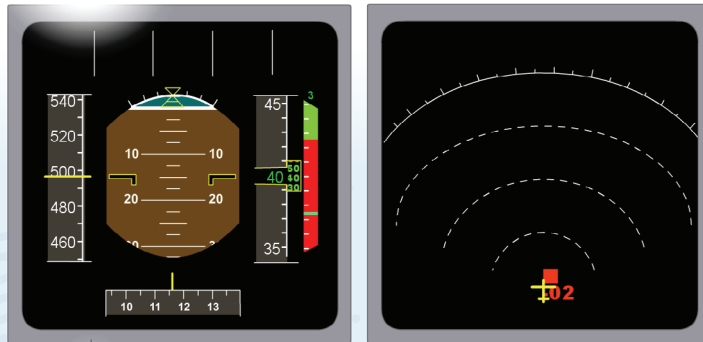


Рис. Д25. Відображення даних від TCAS на EFIS [9]



Рис. Д26. Система CAS 100 (Honeywell) [75]

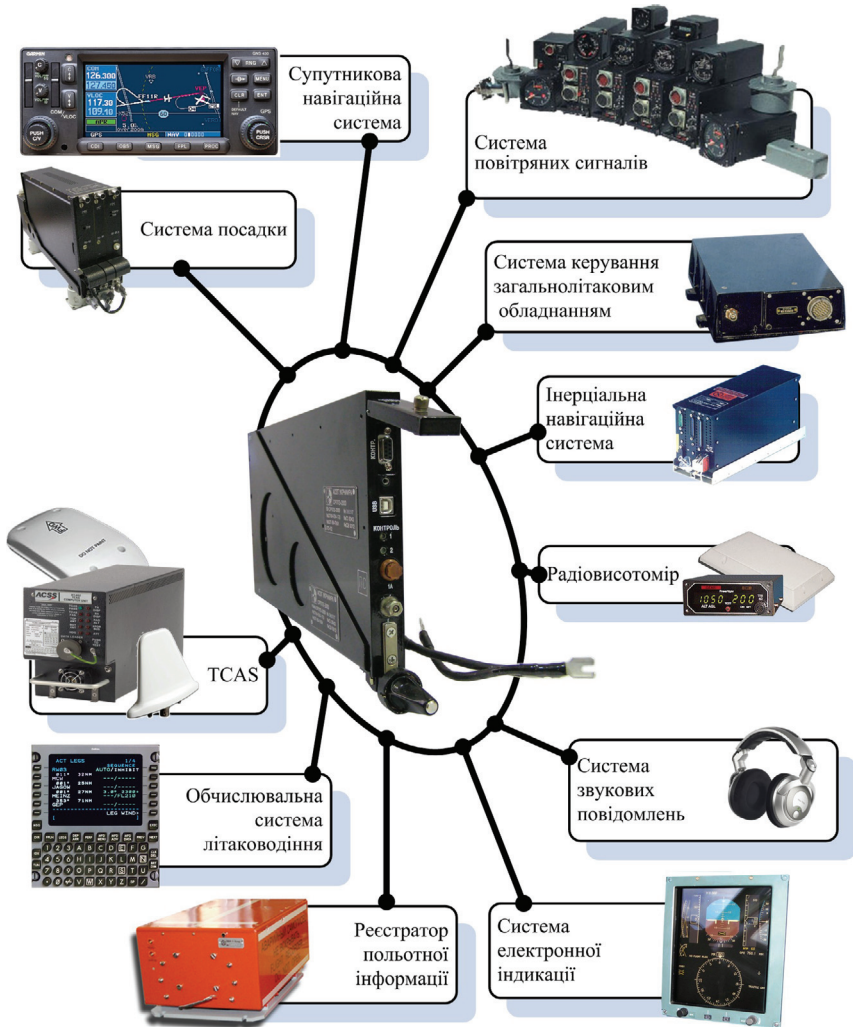


Рис. Д27. Взаємозв'язки TAWS

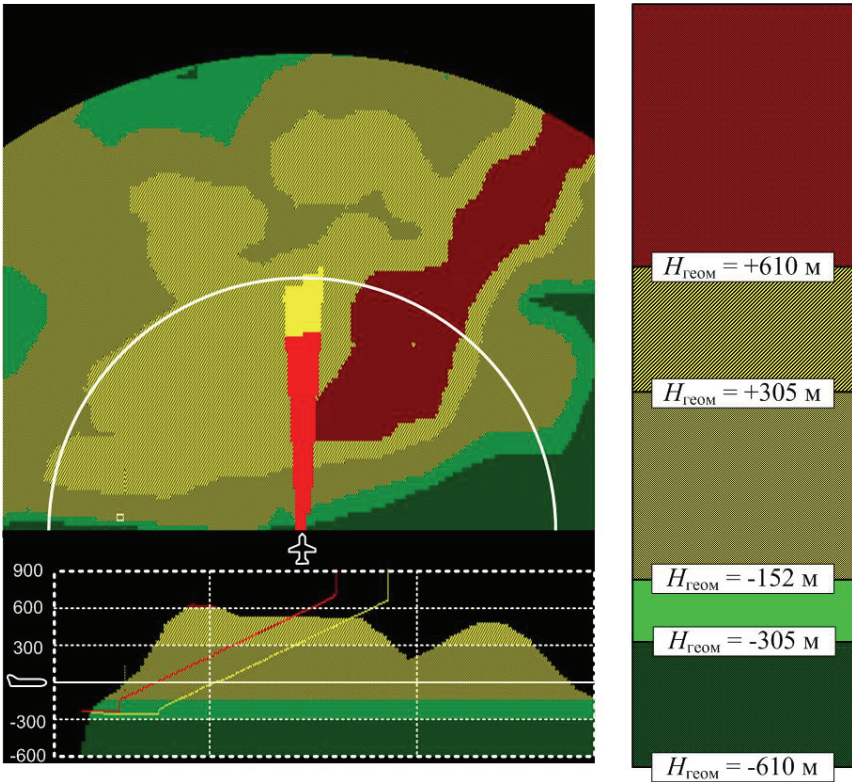


Рис. Д28. Відображення рельєфу місцевості (кримських гір) на EFIS



Рис. Д29. Приймач GNSS GNS-430W [67]



Рис. Д30. Пульта керування обладнанням зв'язку UASC [105]

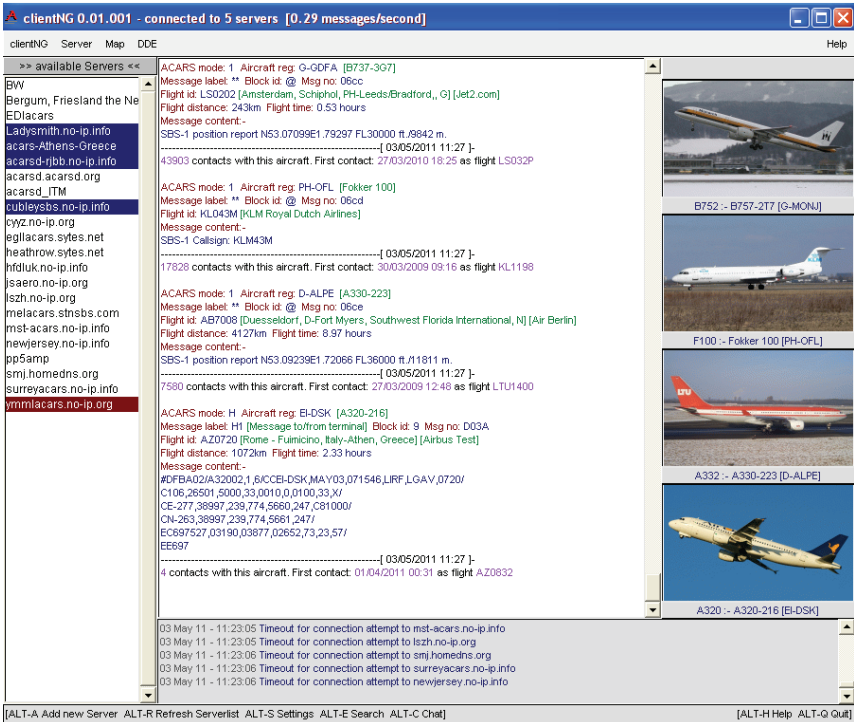


Рис. Д31. Повідомлення ACARS, отримані за допомогою «ClientNG»



Рис. Д32. Моніторинг повітряного руху за повідомленнями ACARS [91]

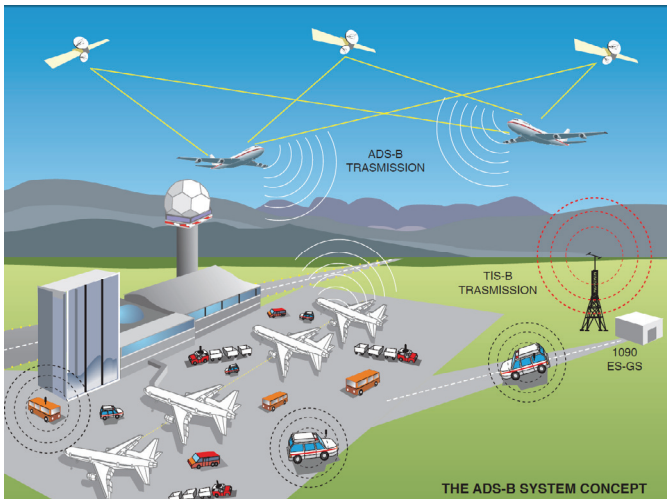


Рис. Д33. Функціонування ADS-B



Рис. Д34. Відображення даних від TIS-B [61]



Рис. Д35. Відображення даних від FIS-B [61]

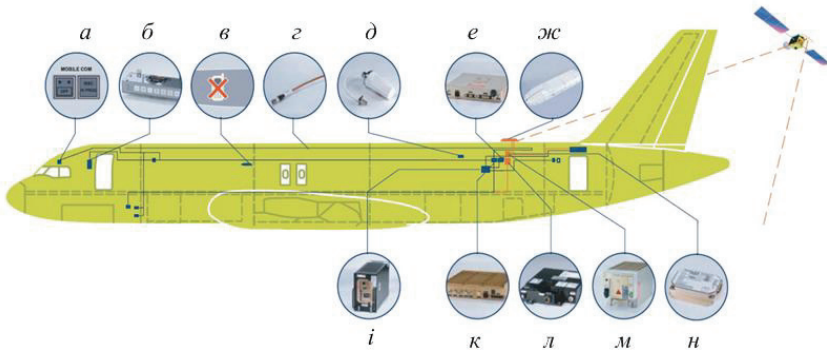


Рис. Д36. Приклад розміщення GSMOB на літаку А320 :
а – перемикач ввімкнення/вимкнення; б – пульт контролю за системою бортпроводника; в – індикатор дозволу на користування послугами зв'язку; г і д – антени; е – BTS; ж – антена забезпечення супутникового зв'язку; і – AGS; к, л – NCU; м і н – CSDU



Рис. Д37. Розміщення MCDU у кабіні Ту-214

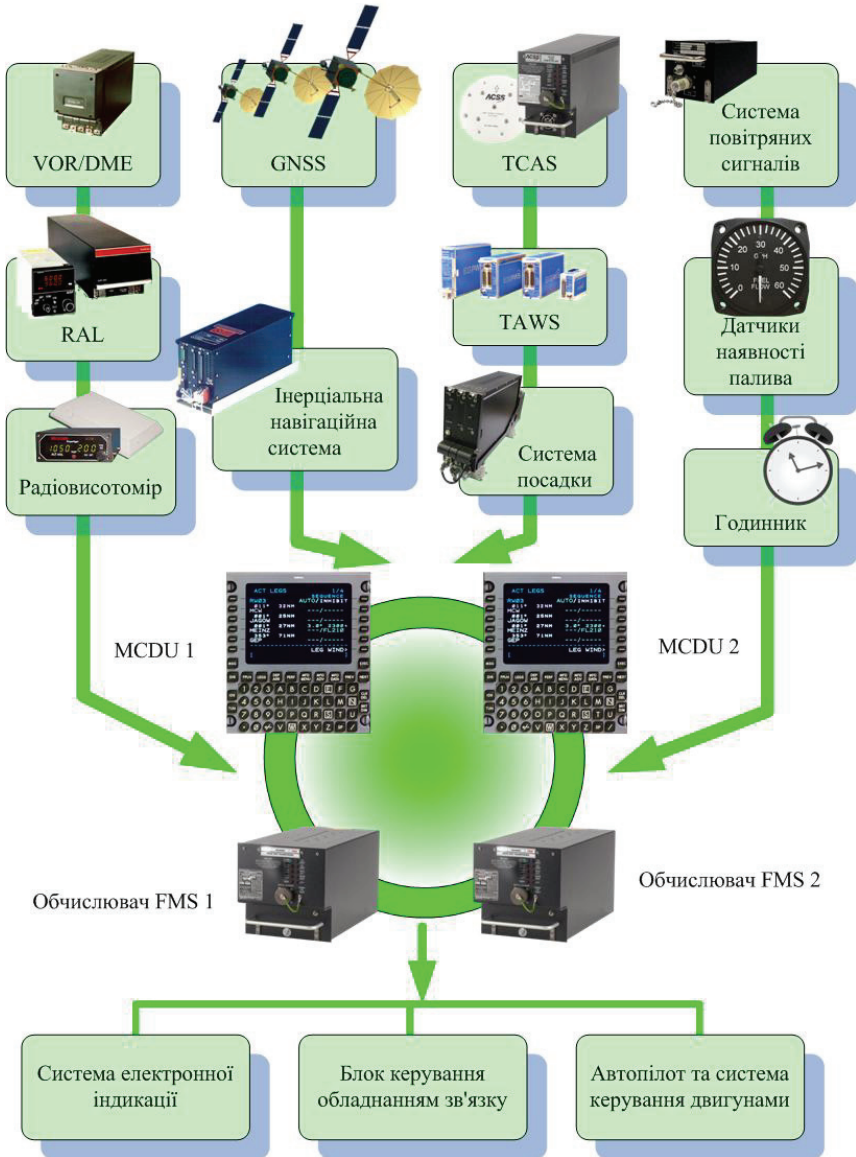


Рис. Д38. Взаємодія FMS з іншими системами



Рис. Д39. Система FMS з модулем зв'язку (Universal Avionics System) [105]

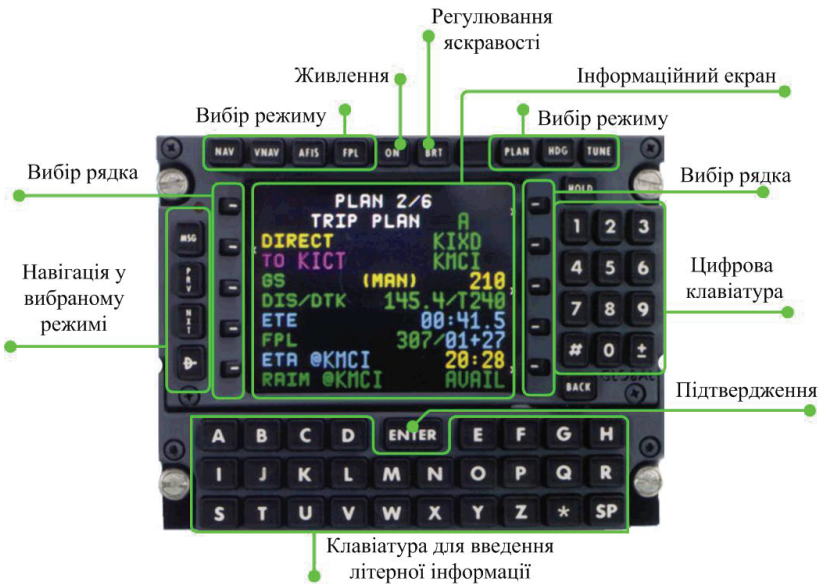
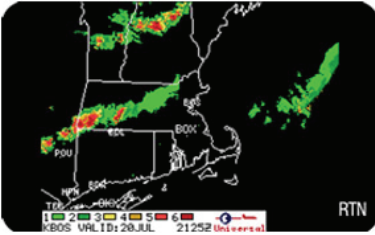
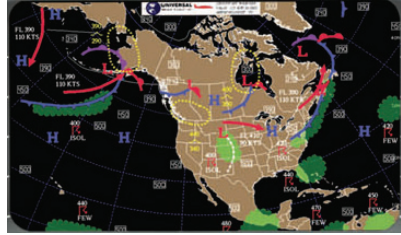


Рис. Д40. Типовий MCDU «GNX-Xls» (Honeywell)

Продовження додатка



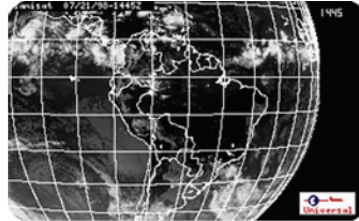
Зображення метеорадіолокатора



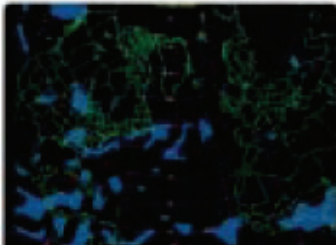
Метеорологічна карта



Карта вітрів



Супутникове зображення в інфрачервоному діапазоні



Зони можливого обледеніння



Турбулентність

Рис. Д41. Приклади метеорологічної інформації на екрані FMS [105]

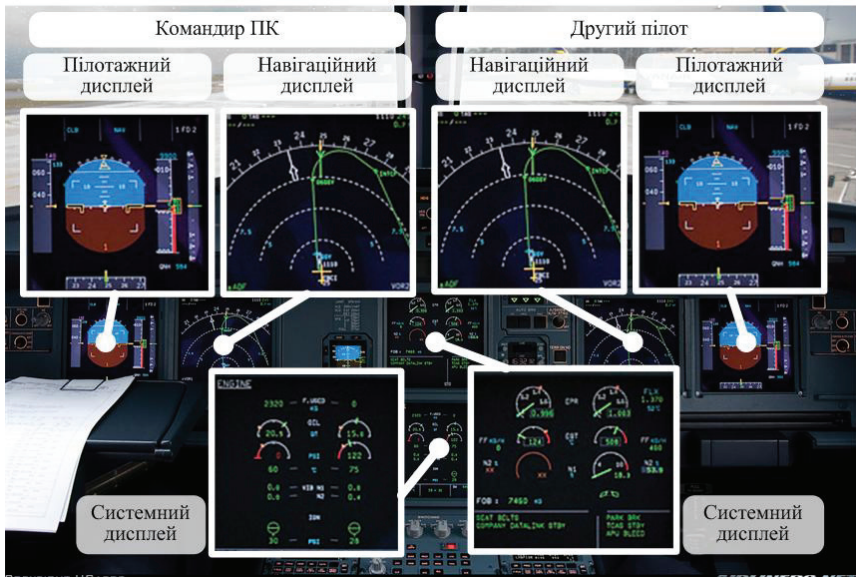


Рис. Д42. Дисплеї EIS (A320)

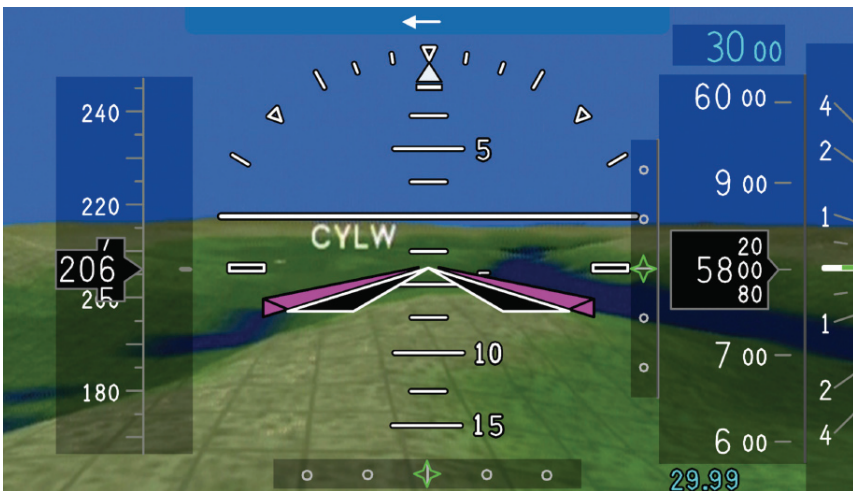


Рис. Д43. Пілотажний дисплей із SVS [98]

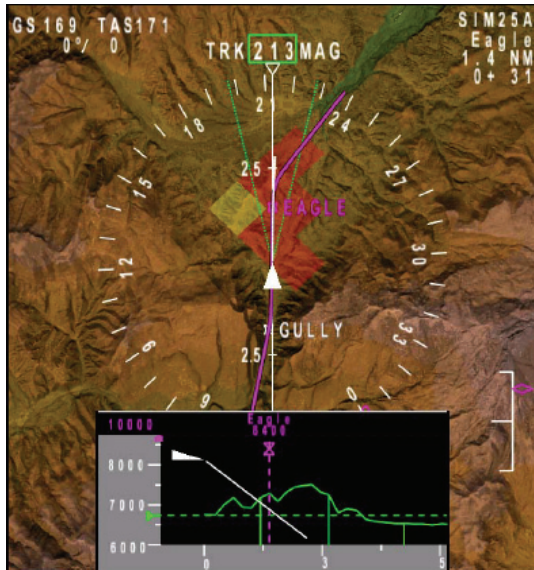


Рис. Д44. Навігаційний дисплей із SVS [96]

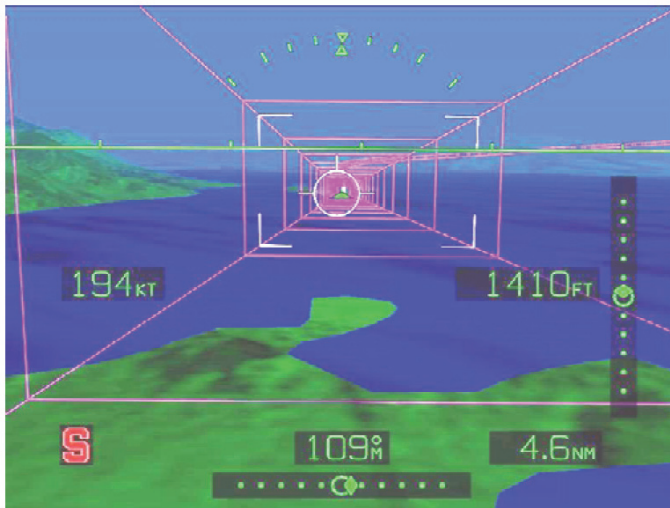


Рис. Д45. Тунельне відображення запланованої траєкторії руху [46]

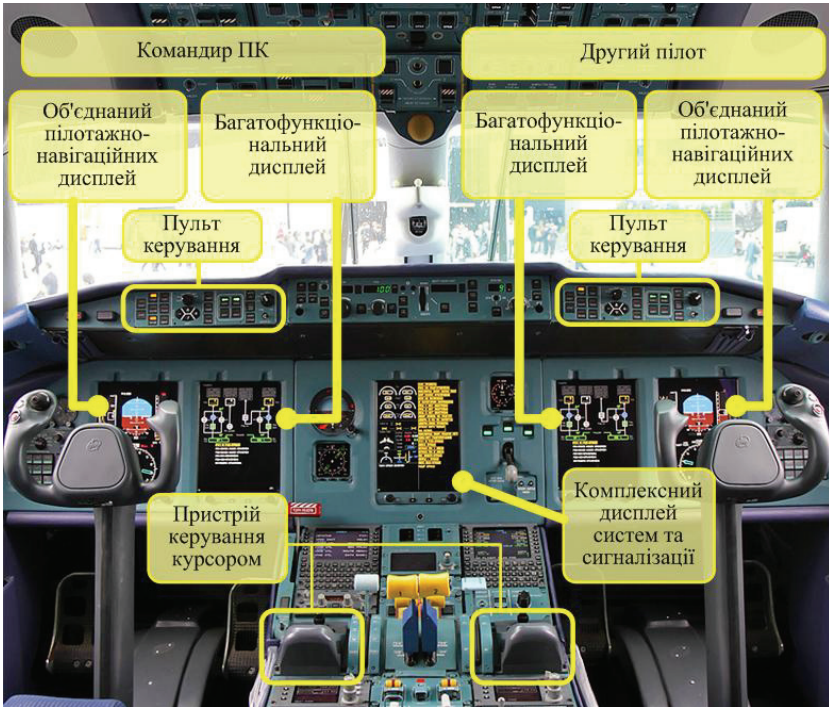


Рис. Д46. Комплексна система електронної індикації Ан-148

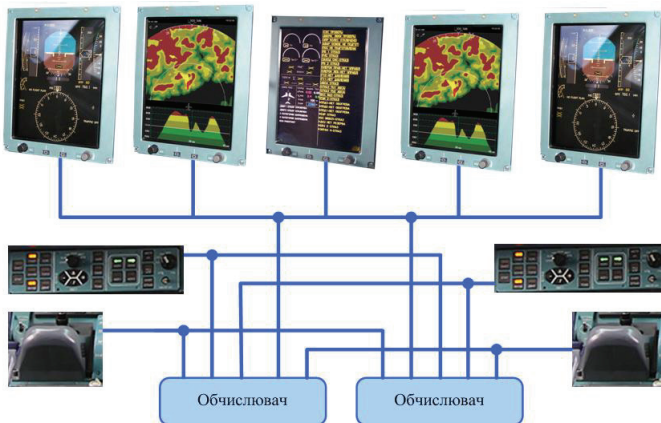


Рис. Д47. Побудова EIS Ан-148



Рис. Д48. Об'єднаний пілотажно-навігаційний дисплей



Рис. Д49. Комплексний дисплей систем та сигналізації



Рис. Д50. Електронна система індикації А340



Пілотажний дисплей



Навігаційний дисплей

Рис. Д51. Відображення інформації на дисплеях EFIS



Рис. Д52. Система електронної індикації А-380



Рис. Д53. Система електронної індикації А-350 XWB

Продовження додатка

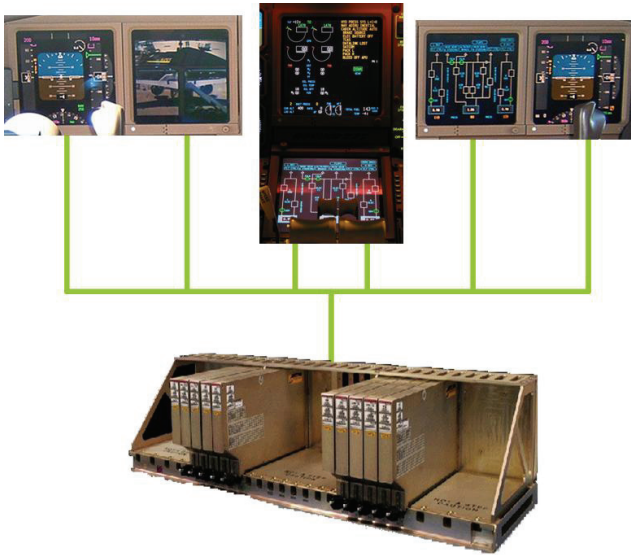


Рис. Д54. Принцип побудови EIS B777



Рис. Д55. Система електронної індикації B-777



Рис. Д56. Система електронної індикації В-787



Рис. Д57. Принцип функціонування HUD В-787



Рис. Д58. Відображення пілотажно-навігаційної інформації на етапі зльоту (HGS, RocwellColins)

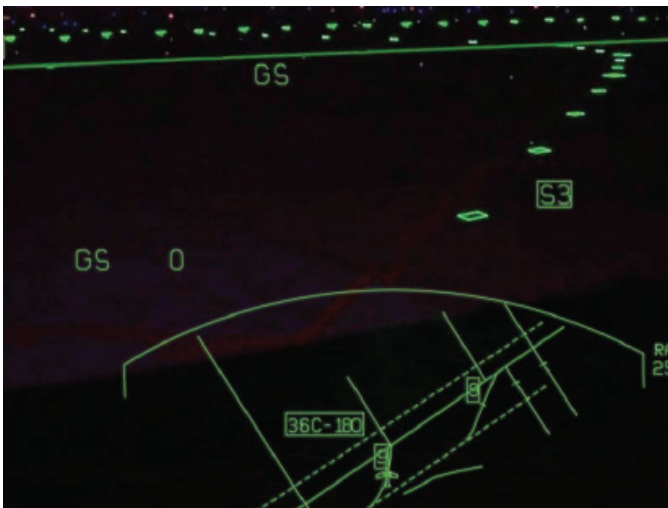


Рис. Д59. Відображення пілотажно-навігаційної інформації під час заходу на посадку (HGS, RocwellColins)



Рис. Д60. Відображення рельєфу місцевості від SVS (HGS, RoswellColins)

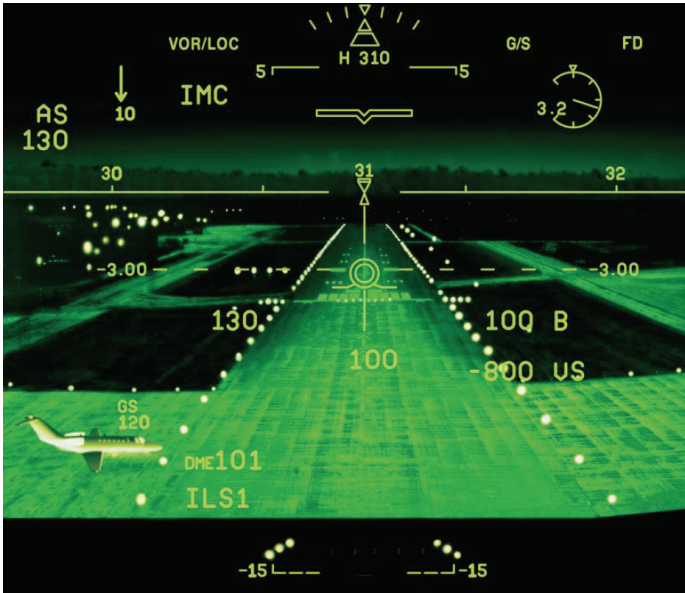


Рис. Д61. Поєднання видачі інформації системою нічного бачення з пілотажно-навігаційною інформацією (HGS, RoswellColins)

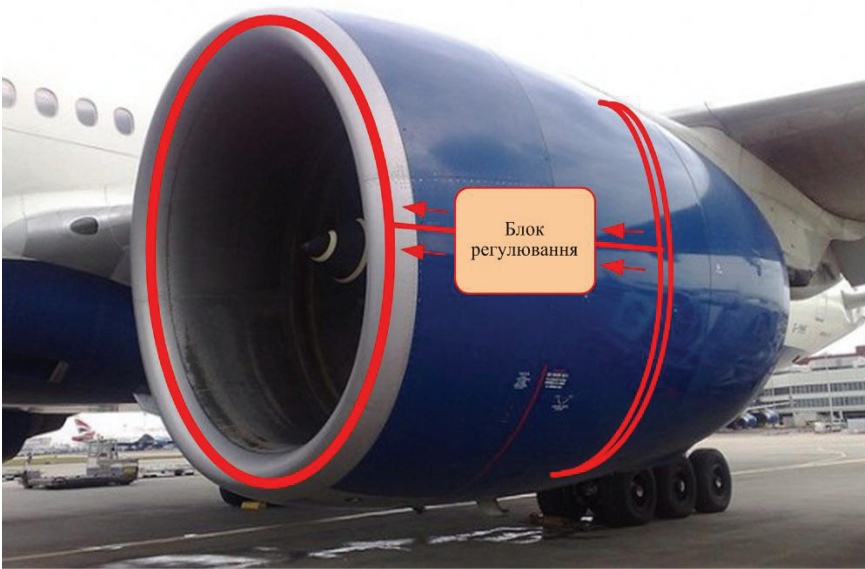


Рис. Д62. Система обігріву повітрязабірника



Рис. Д63. П'єзоелектричний датчик наявності льоду EW-164 (Vibro-Meter) [106]



Рис. Д64. Обладнання IFE (Emirates' airlines)



Рис. Д65. Обладнання TES (Rockwell Collins)